

実験番号:2015PB008

APLF ガラスの XAFS 等による化学状態及び構造解析

川嶋 利幸 浜松ホトニクス株式会社

1. 測定実施日

2015年10月30日10時00分-14時00分(1シフト),BL5S1 2015年10月30日14時30分-18時30分(1シフト),BL8S3 2015年11月12日10時00分-14時00分(1シフト),BL6N1 2015年11月12日14時30分-18時30分(1シフト),BL1N2

2. 概要

当社が大阪大学等と共同で開発した Pr-APLF ガラス[1]の構造を明らかにするために、硬 X 線、軟 X 線を用いた各種 XAFS 測定を始めとする構造解析を行った。その結果 P 周りの原子構造を示唆するデータ等、これまで明らかになっていなかった本ガラスの原子構造への理解を深める知見を得た。

3.背景と研究目的

中性子は、イメージングや材料解析、医療分野(BNCT)での応用が期待されており、上記 Pr-APLF ガラスはその中性子検出のための高速応答シンチレータとして有望である。構造解析により光学応答のメカニズムが明らかになれば、さらなる高速応答化や発光量の増大など高機能シンチレータの設計が可能になる。実際、近年のスーパーコンピューターの発展によりガラスのような周期性の無い多数の原子からなる系のバンド計算も可能であり、ガラスの構造が明らかになればそれを設計に生かす事ができるようになっている。本研究ではPr-APLF ガラスの任意の設計へ向け、その構造を明らかにするために放射光を用いた構造解析を行った。

4. 実験内容

Pr-APLF と Pr を含まない APLF について BL5S1 を用いて Pr の L 吸収端 (5.97keV)付近の XAFS 測定を行い Pr の化学状態および局所構造評価を行った。 続いて BL6N1 を用いて Pの K 吸収端(2.14keV) 付近の XAFS 測定による Pの化学 状態および局所構造評価を行い、BL1N2 を用いて AI の K 吸収端(1.56keV) 付近の XAFS 測定を行い AI の化学状態および局所構造を評価した。

また、BL8S3 を用いてX線小角散乱測定を行い、Pr-APLF と Pr を含まない APLF の非結晶構造、高次構造の評価を行った。

5. 結果および考察

Fig.1はPr-APLFのPrのL 吸収端(5.97keV) 付近のXAFS測定結果を示したものである。吸収端は5967eVである。また、前年度の測定で結晶化PrAPLFのXRDにより、析出している結晶はPrF3だとわかっている。一方でPrドープ無しのAPLFガラスが結晶化するとLiFもしくはAIF3が析出することが先行研究[2]で明らかになっている。そのため、LiもしくはAIがPrと置換しているので最近接にPO3-もしくはF-、があると予測される。

Fig.2は、Pr-APLFとPrを含まなNAPLFおよび比較材として測定したPrAI (PO3)3の AI の K 吸収端(1.56keV) 付近の XAFS 測定である。Pr-APLFとPr を含まなPrAPLFのスペクトルと比較材のPrAI (PO3)3のスペクトルを比較すると立ち上がりのエネルギー(1.56keV)はほぼ一致してPrAPLFとPrを含まなPrAPLFとPrを含まなPrAPLFおよび AI (PO3)3の AI の化学状態はすべてほぼ同じと判断されるが、AI 周辺の局所構造が異なっていることが推測される。

Fig.3 は、Pr-APLF と Pr を含まない APLF の P の R 吸収端(2.14ReV)付近の XAFS 測定結果である。 どちらも R 吸収端の立ち上がりが、2.15ReV であり、先行研究 [3]により報告されている ReV AI (PO3)3 の吸収端と一致していた。このことより、ReV の化学状態は、ReV AI (PO3)3 と一致していると思われる。また、ReV EXAFS 領域のスペクトルより局所構造解析を行った結果、ReV Fig.4 のフーリエ変換スペクトルに示すように、ReV のピークの大きさが ReV APLF のピークが ReV を含まない ReV APLF よりも小さいことがわかった。 つまり ReV の存在により ReV 原子から ReV 離れた位置に配

位される原子数が少なくなったことを示している。先行研究[4]により Pr をドープしていない APLF 中で P は PO x の形で存在していると知られているが、上述の配位数の違いにより、Pr が O と結合を形成していることが予測される。Pr の酸化物として十一酸化六プラセオジム $(Pr_{6}O_{11})$ が存在するが、この化合物中では Pr は 3 価と 4 価のイオンで存在するので Pr-APLF 中でも同様に 3 価と 4 価のイオンで存在すると予想される。

Fig.5 は Pr-APLF と Pr を含まない APLF の X 線小角散乱測定結果である。 Pr-APLFでは Q=6 nm⁻¹付近に構造を有しており、Pr を含まない APLFでは Q=13 nm⁻¹付近に構造を有していることがわかった。以上の結果より、Pr を添加することにより AI,P の化学状態は大きくは変化していなかったが、Pr 周辺に存在する 0,F の電子構造がドープしていない APLF ガラスのそれと変わることが推察される。

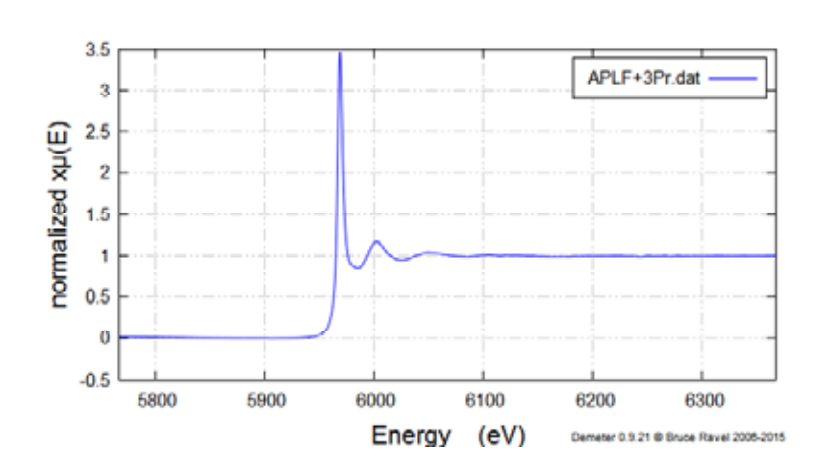


Fig.1 BL5S1 を用いた Pr の LIII 吸収端付近の XAFS 測定

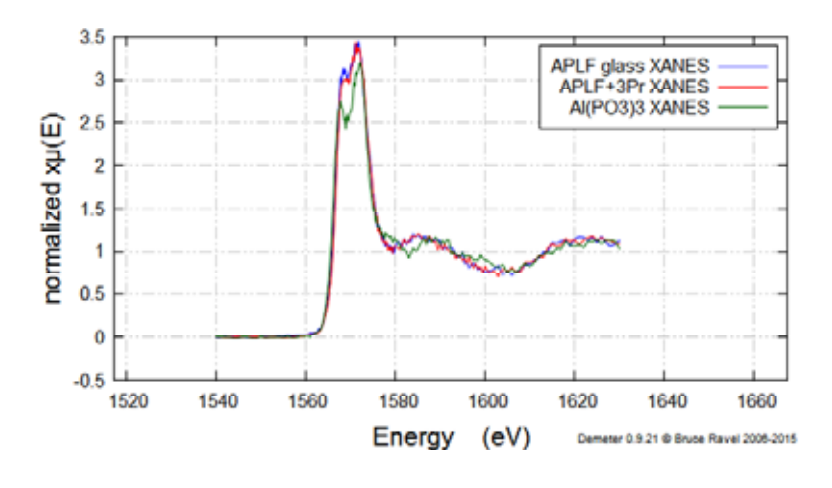


Fig.2 BL1N2 を用いた AIの K 吸収端付近の XAFS 測定

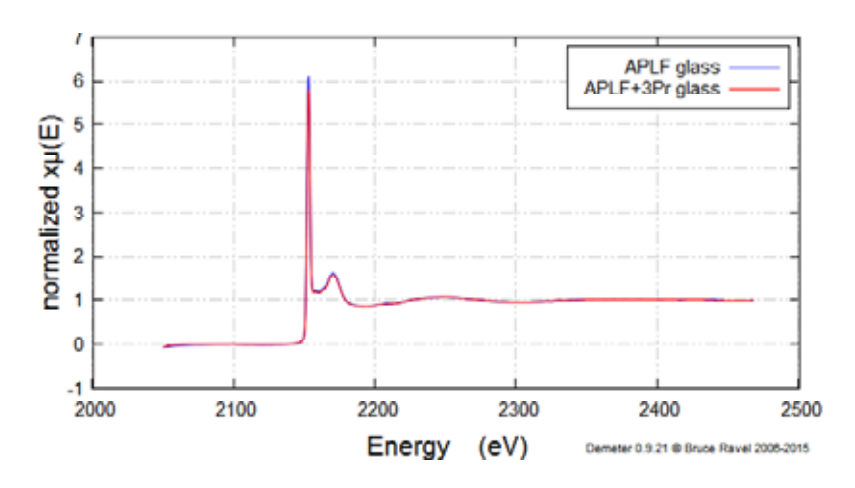


Fig.3 BL6N1 を用いた Pの K 吸収端付近の XAFS 測定

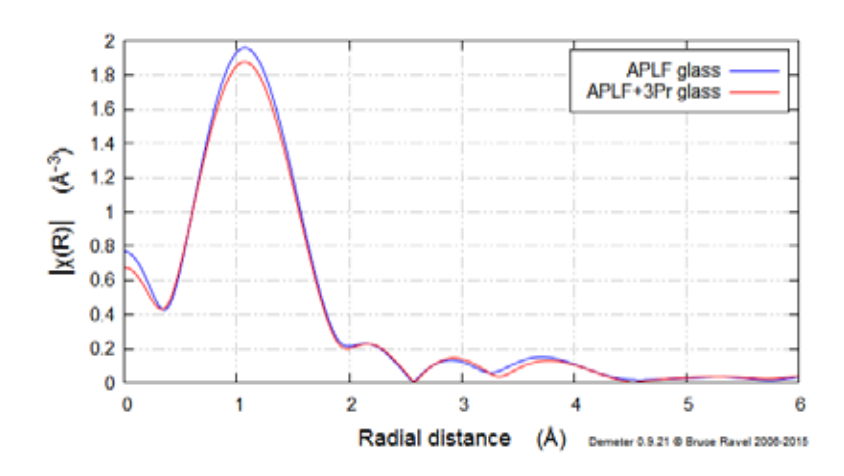


Fig.4 BL6N1 を用いた Pの K 吸収端付近の XAFS 測定(フーリエ変換)

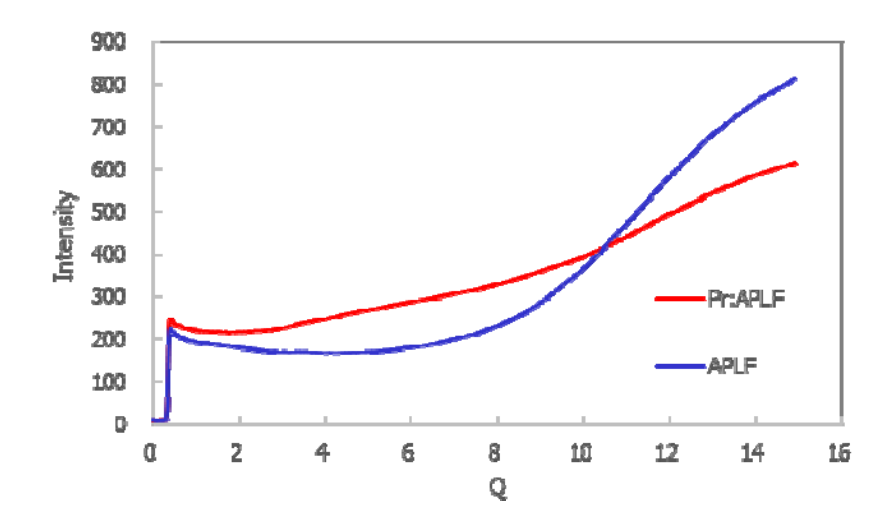


Fig.5 BL8N3 を用いた SAXS 測定の結果

6.今後の課題

今後は軽元素側のデータを取得してゆく必要がある。特に陰イオンの F、O の測定をすれば今回測定した Al、Pr との位置関係がより明確になると考えられる。これらの測定は BL7U で可能である。

7.参考文献

- [1] 村田貴広 et. al.: The Review of Laser Engineering, **39**, No.5, 312 (2011)
- [2] GAN Fuxi et al. Journal of Non-Crystalline Solids 52, 263 (1982)
- [3] J. Kurse et. al.: J. Plant Nutr. Soil Sci., 171, 613 (2008)
- [4] D. Möncke et al., Phys. Chem. Glass, 46, 67 (1981)